

- [5] Аполлонов В.В., Байцур Г.Г., Прохоров А.М., Семенов С.К., Фирсов К.Н. - Квантовая электроника, 1988, т. 15, № 3, с. 553-557.
- [6] Аполлонов В.В., Байцур Г.Г., Прохоров А.М., Фирсов К.Н. - Квантовая электроника, 1987, т. 14, № 1, с. 135-145.
- [7] Аполлонов В.В., Байцур Г.Г., Прохоров А.М., Фирсов К.Н. - Квантовая электроника, 1986, т. 13, с. 2538-2541.
- [8] Бычков Ю.И., Королев Ю.Д., Месяц Г.А. и др. Инжекционная газовая электроника. Новосибирск: Наука, 1982. 237 с.
- [9] Кекеев М.М., Savic R. - J. Phys. D: Appl. Phys., 1974, v. 7, N 4, p. 620-628.

Поступило в Редакцию
27 мая 1988 г.

Письма в ЖТФ, том 14, вып. 18 26 сентября 1988 г.

КРИСТАЛЛИЧЕСКИЕ ИК-СВЕТОВОДЫ ИЗ КРС-13 С ОТРАЖАЮЩЕЙ ОБОЛОЧКОЙ

В.Г. Артюшенко, Л.Н. Бутвина,
Е.М. Дианов, Н.В. Жукова,
Ю.Г. Колесников, Е.Г. Литвиненко,
А.О. Набатов

Потребности лазерной медицины и технологий, дистанционной термодиагностики и ИК-спектроскопии стимулируют разработку световодов для оптического диапазона 5-15 мкм. Наиболее перспективными световодами для этого диапазона являются кристаллические световоды (КС), т.к. они обладают наименьшими оптическими потерями - 0.1-1.0 дБ/м [1]. По совокупности таких характеристик, как механическая прочность, нетоксичность и негигроскопичность световоды из КРС-13 (кристалл твердого раствора 0.25 AgCl - 0.75 AgBr) имеют явные преимущества, включая стабильность параметров при воздействии механических напряжений.

В настоящее время ведутся активные исследования по получению оболочечных КС [1-4], т.к. применение разработанных безоболочечных световодов ограничено рядом недостатков.

1. Ввиду отсутствия светоотражающей оболочки разность показателей преломления на границе раздела сердцевина-воздух является большой ($\Delta n > 1$). Это приводит к большому поверхностному рассеянию ($\alpha \sim \left(\frac{\delta \Delta n}{\lambda}\right)^2$, где δ - шероховатость поверхности, λ - длина волны), играющему существенную роль в потерях и уширении проходящего излучения [5].

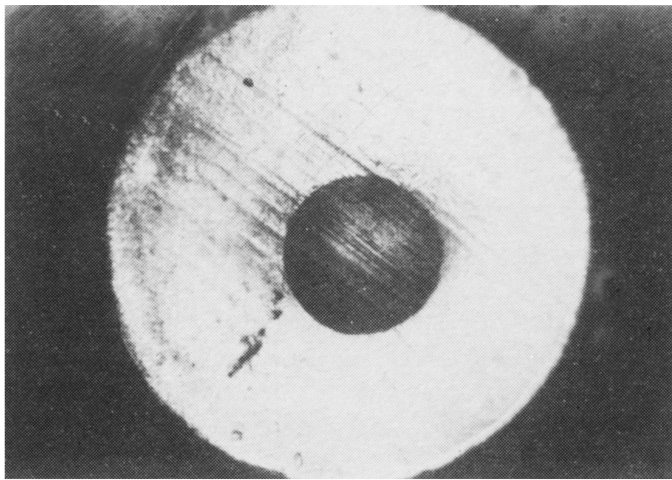


Рис. 1. Поперечное сечение световодов с сердцевиной из КРС-13 (\varnothing 320 мм) и оболочкой из $AgCl$ (\varnothing 960 мм).

2. Отсутствие отражающей оболочки не позволяет наносить защитные и упрочняющие покрытия, что приводит к деградации оптических и механических свойств из-за адсорбции примесей из атмосферы и механических повреждений.

В настоящей работе представлены результаты исследования оптических свойств полученных нами КС с сердцевиной из КРС-13 и оболочкой из $AgCl$. Их длина составляла 1–2 м, внешний диаметр – от 960 до 1400 мкм, а диаметр сердцевины – от 200 до 750 мкм. Механическая прочность полученных световодов определялась прочностью сердцевины (140–170 МПа). На рис. 1 приведена фотография поперечного среза оболочечного световода.

В результате подбора режимов изготовления оболочечных световодов оптические потери в них были снижены от нескольких децибел на метр до 0.9 дБ/м на длине волны излучения CO_2 -лазера ($\lambda = 10.6$ мкм). Потери на длине волны CO -лазера ($\lambda = 5–6$ мкм) оказались примерно такими же, что, по-видимому, свидетельствует об определяющем вкладе поглощения в полные потери.

Контроль границы раздела сердцевина–оболочка методом ближнего поля показал, что она является оптически плотной. Распределение плотности мощности на выходном торце световода свидетельствовало о наличии ступенчатого профиля показателя преломления. Отметим, что профиль показателя преломления может быть сделан более плавным за счет взаимодиффузии галогенов. Такое изменение профиля было нами получено в результате отжига полученных световодов при $100^{\circ}C$, что экспериментально подтверждилось измерением распределения концентраций Br и Cl по сечению световода.

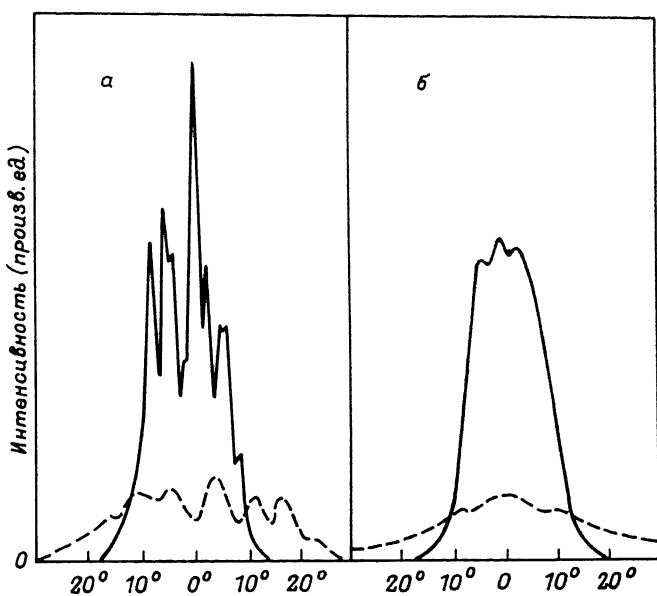


Рис. 2. Угловое распределение выходной интенсивности излучения, пропущенного через оболочечный (сплошные линии) и безоболочечный (штриховые линии) световоды: а - $\lambda = 5\text{--}6 \mu\text{м}$, б - $\lambda = 10.6 \mu\text{м}$.

На рис. 2 приведено угловое распределение интенсивности излучения CO_2 - и CO -лазеров на выходе оболочечного и безоболочечного световодов. Отсутствие явно выраженной спектральной структуры для излучения CO -лазера обусловлено его полихроматичностью. Реальная числовая апертура распространяющегося в оболочечном световоде излучения оказалась меньше, чем в случае безоболочечного. Так, при длине световода 1 м и апертуре ввода 0.1 числовая апертура выходящего из него излучения CO_2 - и CO -лазеров для оболочечного световода составила 0.26 и 0.30 соответственно, а для безоболочечного - 0.44 и 0.52 соответственно.

Лучевая прочность оболочечных световодов, измеренная по выходной мощности, составила 6–7 кВт/см² для непрерывного излучения CO_2 -лазера. Разрушение световода происходило, как правило, на границе раздела сердцевина–оболочки, что, по-видимому, связано с привнесенными поглощающими примесями. Об этом свидетельствует также характер разрушения в импульсном режиме. В этом случае пробой носил статистический характер, и усредненная по шести измерениям величина пороговой плотности энергии для оболочечного световода (3.7 Дж/см²) оказалась несколько меньше таковой в случае безоболочечного световода – 4.8 Дж/см² ($\tau = 2 \mu\text{s}$, $\lambda = 10.6 \mu\text{м}$).

Наличие отражающей оболочки позволяет наносить на световоды защитные и упрочняющие покрытия. Нанесение слоя фторорганического лака толщиной 20–100 мкм предохраняет галогенидсеребряные световоды от взаимодействия с металлами и стабилизирует их оптические параметры при хранении в лабораторных условиях (при сроке наблюдения до трех месяцев).

Исследование характеристик полученных первых отечественных оболочечных КС показало перспективность разработки таких световодов для различных применений, в том числе для передачи мощного излучения с малой расходимостью, что необходимо, в частности, в задачах лазерной хирургии и технологии. Кроме того, несомненным достоинством оболочечных световодов является стабильность их параметров.

В заключение авторы выражают свою признательность за помощь в проведении работ В.Н. Маевскому и А.П. Новикову.

Л и т е р а т у р а

- [1] Alimpiev S.S., Artushenko V.G., Butvina L.N., Vartapetov S.K., Dianov E.M., Kolesnikov Yu.G., Konov V.L., Nabatov A.O., Nikiforov S.M., Mirakjan M.M. – Proc. SPIE, 1988, v. 906, p. 906–31.
- [2] Takahashi K., Yoshida N., Yokota M. – Sumitomo Electr. Techn. Rev., 1984, N 23, p. 203–210.
- [3] Kimura M., Kachi S., Shiroyama K. – Proc. SPIE, 1986, v. 618, p. 85–88.
- [4] Harrington J.A., Harrington J.C., Gregory C.C., Harman S. – Proc. SPIE, 1988, v. 906, p. 906–29.
- [5] Artjushenko V.G., Butvina L.N., Vojtsekhovskii V.V., Dianov E.M., Kolesnikov Yu.G. – J. of Lightwave Technology, 1986, v. LT-4, N 4, p. 461–465.

Институт общей физики
АН СССР, Москва

Поступило в Редакцию
2 июля 1988 г.